

Starkniederschlagshöhen und -spenden gemäß KOSTRA-DWD-2020

Rasterfeld 149123

(Zeile 149, Spalte 123)

Regenspende und Bemessungsniederschlagswerte in Abhängigkeit von Wiederkehrzeit T und Dauerstufe D

| Dauerstufe D | | Wiederkehrzeit T | | | | | | | | | | | | | | | | | |
|--------------|-----|------------------|------------|------|------------|------|------------|------|------------|------|------------|-------|------------|-------|------------|-------|------------|-------|------------|
| | | 1 a | | 2 a | | 3 a | | 5 a | | 10 a | | 20 a | | 30 a | | 50 a | | 100 a | |
| min | Std | mm | l / (s ha) | mm | l / (s ha) | mm | l / (s ha) | mm | l / (s ha) | mm | l / (s ha) | mm | l / (s ha) | mm | l / (s ha) | mm | l / (s ha) | mm | l / (s ha) |
| 5 | | 7,2 | 240,0 | 8,8 | 293,3 | 9,8 | 326,7 | 11,1 | 370,0 | 12,9 | 430,0 | 14,9 | 496,7 | 16,1 | 536,7 | 17,8 | 593,3 | 20,1 | 670,0 |
| 10 | | 9,3 | 155,0 | 11,3 | 188,3 | 12,6 | 210,0 | 14,3 | 238,3 | 16,7 | 278,3 | 19,2 | 320,0 | 20,9 | 348,3 | 23,0 | 383,3 | 26,1 | 435,0 |
| 15 | | 10,6 | 117,8 | 12,9 | 143,3 | 14,4 | 160,0 | 16,3 | 181,1 | 19,0 | 211,1 | 21,9 | 243,3 | 23,7 | 263,3 | 26,1 | 290,0 | 29,6 | 328,9 |
| 20 | | 11,5 | 95,8 | 14,0 | 116,7 | 15,6 | 130,0 | 17,7 | 147,5 | 20,7 | 172,5 | 23,8 | 198,3 | 25,8 | 215,0 | 28,4 | 236,7 | 32,2 | 268,3 |
| 30 | | 12,8 | 71,1 | 15,7 | 87,2 | 17,4 | 96,7 | 19,7 | 109,4 | 23,1 | 128,3 | 26,5 | 147,2 | 28,8 | 160,0 | 31,7 | 176,1 | 36,0 | 200,0 |
| 45 | | 14,2 | 52,6 | 17,4 | 64,4 | 19,3 | 71,5 | 21,9 | 81,1 | 25,6 | 94,8 | 29,4 | 108,9 | 32,0 | 118,5 | 35,2 | 130,4 | 39,9 | 147,8 |
| 60 | 1 | 15,3 | 42,5 | 18,7 | 51,9 | 20,8 | 57,8 | 23,5 | 65,3 | 27,5 | 76,4 | 31,6 | 87,8 | 34,3 | 95,3 | 37,8 | 105,0 | 42,9 | 119,2 |
| 90 | 1,5 | 16,8 | 31,1 | 20,6 | 38,1 | 22,9 | 42,4 | 25,9 | 48,0 | 30,3 | 56,1 | 34,9 | 64,6 | 37,8 | 70,0 | 41,7 | 77,2 | 47,3 | 87,6 |
| 120 | 2 | 18,0 | 25,0 | 22,0 | 30,6 | 24,5 | 34,0 | 27,8 | 38,6 | 32,5 | 45,1 | 37,3 | 51,8 | 40,5 | 56,3 | 44,6 | 61,9 | 50,6 | 70,3 |
| 180 | 3 | 19,8 | 18,3 | 24,2 | 22,4 | 26,9 | 24,9 | 30,5 | 28,2 | 35,7 | 33,1 | 41,0 | 38,0 | 44,5 | 41,2 | 49,0 | 45,4 | 55,6 | 51,5 |
| 240 | 4 | 21,1 | 14,7 | 25,8 | 17,9 | 28,8 | 20,0 | 32,6 | 22,6 | 38,1 | 26,5 | 43,8 | 30,4 | 47,5 | 33,0 | 52,4 | 36,4 | 59,4 | 41,3 |
| 360 | 6 | 23,2 | 10,7 | 28,3 | 13,1 | 31,5 | 14,6 | 35,7 | 16,5 | 41,8 | 19,4 | 48,0 | 22,2 | 52,1 | 24,1 | 57,5 | 26,6 | 65,1 | 30,1 |
| 540 | 9 | 25,4 | 7,8 | 31,1 | 9,6 | 34,6 | 10,7 | 39,2 | 12,1 | 45,8 | 14,1 | 52,6 | 16,2 | 57,1 | 17,6 | 63,0 | 19,4 | 71,4 | 22,0 |
| 720 | 12 | 27,1 | 6,3 | 33,2 | 7,7 | 36,9 | 8,5 | 41,8 | 9,7 | 48,9 | 11,3 | 56,2 | 13,0 | 60,9 | 14,1 | 67,2 | 15,6 | 76,2 | 17,6 |
| 1080 | 18 | 29,7 | 4,6 | 36,3 | 5,6 | 40,4 | 6,2 | 45,8 | 7,1 | 53,5 | 8,3 | 61,5 | 9,5 | 66,8 | 10,3 | 73,6 | 11,4 | 83,4 | 12,9 |
| 1440 | 24 | 31,7 | 3,7 | 38,7 | 4,5 | 43,1 | 5,0 | 48,8 | 5,6 | 57,1 | 6,6 | 65,6 | 7,6 | 71,2 | 8,2 | 78,5 | 9,1 | 89,0 | 10,3 |
| 2880 | 48 | 37,0 | 2,1 | 45,3 | 2,6 | 50,3 | 2,9 | 57,0 | 3,3 | 66,7 | 3,9 | 76,7 | 4,4 | 83,2 | 4,8 | 91,7 | 5,3 | 103,9 | 6,0 |
| 4320 | 72 | 40,5 | 1,6 | 49,5 | 1,9 | 55,1 | 2,1 | 62,5 | 2,4 | 73,0 | 2,8 | 83,9 | 3,2 | 91,1 | 3,5 | 100,4 | 3,9 | 113,8 | 4,4 |
| 5760 | 96 | 43,2 | 1,3 | 52,8 | 1,5 | 58,8 | 1,7 | 66,6 | 1,9 | 77,9 | 2,3 | 89,5 | 2,6 | 97,1 | 2,8 | 107,1 | 3,1 | 121,4 | 3,5 |
| 7200 | 120 | 45,4 | 1,1 | 55,5 | 1,3 | 61,8 | 1,4 | 70,0 | 1,6 | 81,9 | 1,9 | 94,1 | 2,2 | 102,1 | 2,4 | 112,6 | 2,6 | 127,6 | 3,0 |
| 8640 | 144 | 47,3 | 0,9 | 57,9 | 1,1 | 64,4 | 1,2 | 72,9 | 1,4 | 85,3 | 1,6 | 98,0 | 1,9 | 106,3 | 2,1 | 117,3 | 2,3 | 132,9 | 2,6 |
| 10080 | 168 | 49,0 | 0,8 | 59,9 | 1,0 | 66,6 | 1,1 | 75,5 | 1,2 | 88,3 | 1,5 | 101,4 | 1,7 | 110,1 | 1,8 | 121,4 | 2,0 | 137,6 | 2,3 |

Starkniederschlagshöhen und -spenden gemäß KOSTRA-DWD-2020

Rasterfeld 149123

(Zeile 149, Spalte 123)

Örtliche Unsicherheiten in Abhängigkeit von Wiederkehrzeit T und Dauerstufe D

| Dauerstufe D | | Wiederkehrzeit T | | | | | | | | |
|--------------|-----|------------------|-----|-----|-----|------|------|------|------|-------|
| | | 1 a | 2 a | 3 a | 5 a | 10 a | 20 a | 30 a | 50 a | 100 a |
| min | Std | ± % | ± % | ± % | ± % | ± % | ± % | ± % | ± % | ± % |
| 5 | | 10 | 11 | 11 | 12 | 12 | 13 | 13 | 13 | 14 |
| 10 | | 13 | 14 | 15 | 16 | 17 | 18 | 18 | 18 | 19 |
| 15 | | 15 | 16 | 17 | 18 | 19 | 20 | 20 | 21 | 21 |
| 20 | | 16 | 18 | 18 | 19 | 20 | 21 | 21 | 22 | 23 |
| 30 | | 17 | 18 | 19 | 20 | 21 | 22 | 22 | 23 | 24 |
| 45 | | 17 | 19 | 20 | 20 | 21 | 22 | 23 | 23 | 24 |
| 60 | 1 | 17 | 18 | 19 | 20 | 21 | 22 | 23 | 23 | 24 |
| 90 | 1,5 | 16 | 18 | 19 | 20 | 21 | 22 | 22 | 23 | 23 |
| 120 | 2 | 16 | 17 | 18 | 19 | 20 | 21 | 22 | 22 | 23 |
| 180 | 3 | 15 | 17 | 18 | 18 | 20 | 20 | 21 | 21 | 22 |
| 240 | 4 | 14 | 16 | 17 | 18 | 19 | 20 | 20 | 21 | 21 |
| 360 | 6 | 13 | 15 | 16 | 17 | 18 | 19 | 19 | 20 | 20 |
| 540 | 9 | 12 | 14 | 15 | 16 | 17 | 18 | 18 | 19 | 19 |
| 720 | 12 | 12 | 14 | 14 | 15 | 16 | 17 | 17 | 18 | 18 |
| 1080 | 18 | 11 | 13 | 14 | 14 | 15 | 16 | 16 | 17 | 17 |
| 1440 | 24 | 11 | 12 | 13 | 14 | 15 | 16 | 16 | 16 | 17 |
| 2880 | 48 | 11 | 12 | 12 | 13 | 14 | 14 | 15 | 15 | 16 |
| 4320 | 72 | 11 | 12 | 12 | 13 | 13 | 14 | 14 | 15 | 15 |
| 5760 | 96 | 11 | 12 | 12 | 13 | 13 | 14 | 14 | 14 | 15 |
| 7200 | 120 | 12 | 12 | 12 | 13 | 13 | 14 | 14 | 14 | 15 |
| 8640 | 144 | 12 | 12 | 12 | 13 | 13 | 14 | 14 | 14 | 14 |
| 10080 | 168 | 13 | 13 | 13 | 13 | 13 | 14 | 14 | 14 | 14 |

Parameter für abweichende T und D

Lokationsparameter ξ (Xi)

15,60257386

Skalenparameter α (Alpha)

4,82576671

Formparameter κ (Kappa)

-0,1

1. Koutsoyiannis-Parameter θ (Theta)

0,02744012

2. Koutsoyiannis-Parameter η (Eta)

0,77657109

Parameter für dauerstufenübergreifende Extremwertschätzung nach KOUTSOYIANNIS et al. 1998.

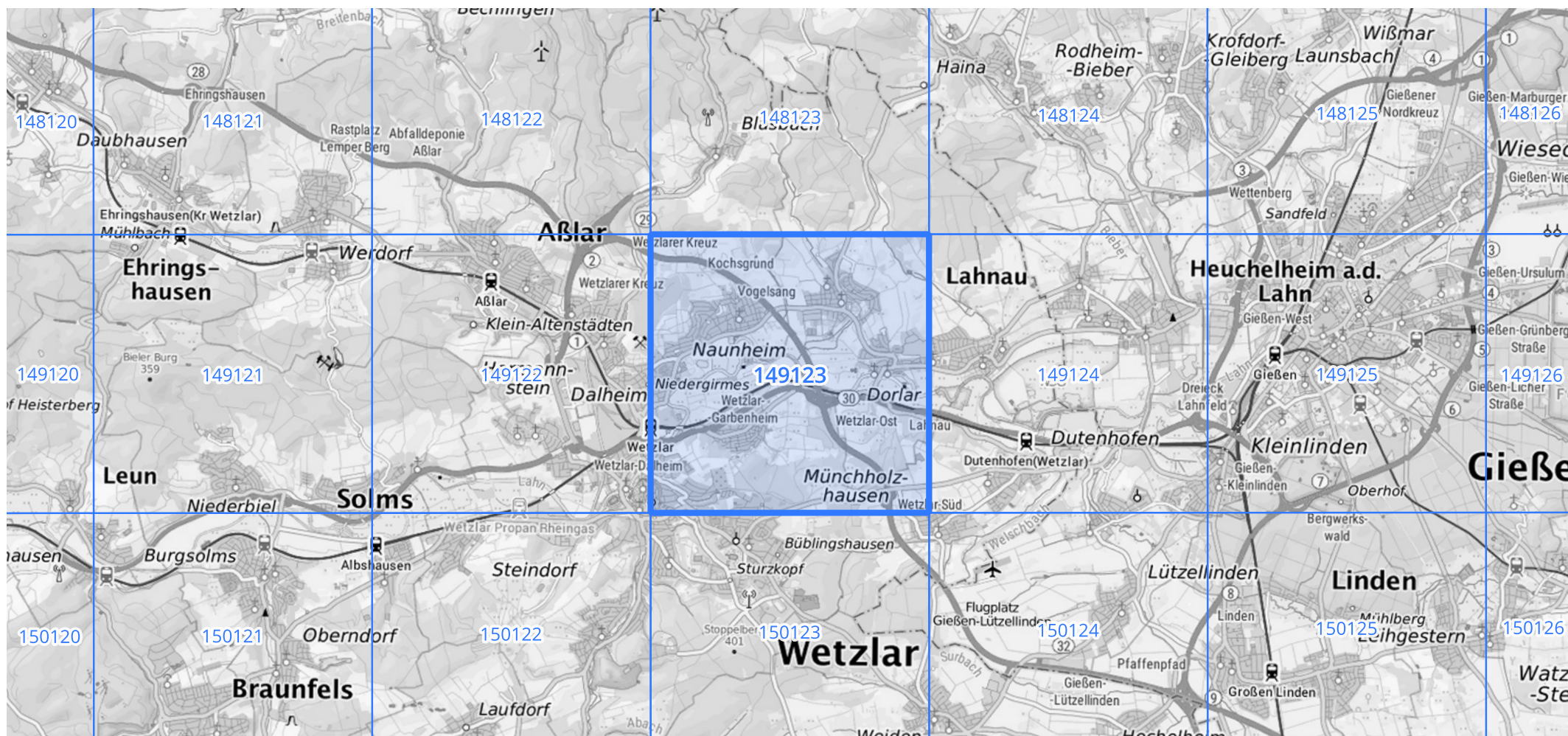
Siehe auch Anwendungshilfe zu KOSTRA-DWD-2020 des Deutschen Wetterdienstes.

Starkniederschlagshöhen und -spenden gemäß KOSTRA-DWD-2020

Rasterfeld 149123

(Zeile 149, Spalte 123)

Übersichtskarte des Rasterfeldes 149123, M 1 : 100 000



Quelle Rasterdaten: KOSTRA-DWD-2020 des Deutschen Wetterdienstes, Stand 12/2022.

Seite 3 von 3

Kartendarstellung: © Bundesamt für Kartographie und Geodäsie (2023), Datenquellen: https://sgx.geodatenzentrum.de/web_public/gdz/datenquellen/Datenquellen_TopPlusOpen.html

Für die Richtigkeit und Aktualität der Angaben wird keine Gewähr übernommen. Erstellt 01/2023.